

# Electromagnetismo

(A)

## Interacciones fundamentales:

- Gravitatoria
  - Electromagnética
  - Fuerte
  - Débil
- Elástica  
Rotamiento  
Fricción  
Vínculo  
...
- Consecuencias macroscópicas del electromagnetismo.

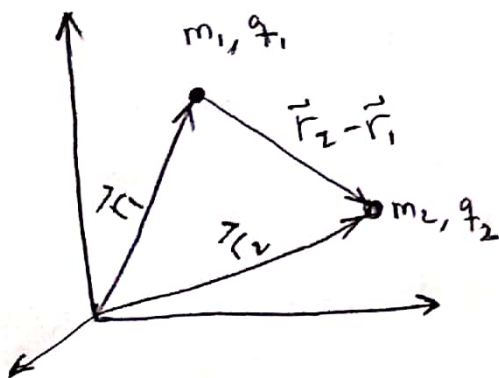
Las partículas además de masa tienen carga (escalar)

Unidades de [carga] = Coulomb (C)

Puede ser positiva y negativa

- $\oplus$  con  $\oplus$  se repelen.
- $\oplus$  con  $\ominus$  se atraen
- $\ominus$  con  $\ominus$  se repelen

Ahora nos enfocamos en cargas estáticas: Electroestática.



Gravedad:  $\vec{F}_{21}^{grav} = - \frac{G \cdot m_1 \cdot m_2}{|\vec{r}_2 - \vec{r}_1|^3} (\vec{r}_2 - \vec{r}_1)$

Electrica:  $\vec{F}_{21}^{electrica} = k \frac{q_1 \cdot q_2}{|\vec{r}_2 - \vec{r}_1|^3} (\vec{r}_2 - \vec{r}_1)$

"Ley de Coulomb"

$k = 9 \cdot 10^9 \frac{N \cdot m^2}{C^2}$  ó  $k = \frac{1}{4\pi\epsilon_0}$

## Comparación entre fuerzas:

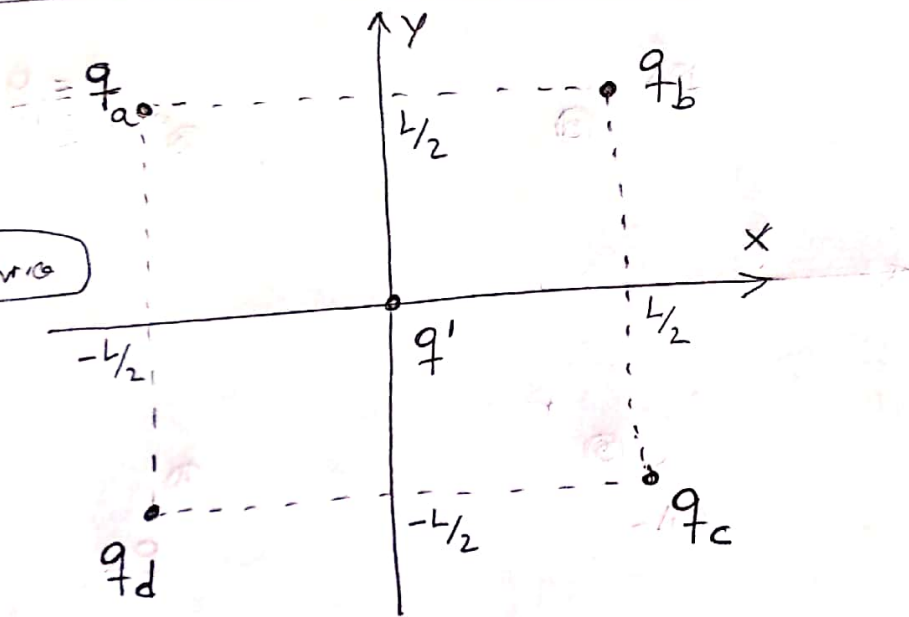
(8)

$$\frac{|\vec{F}_{21}^{\text{eléctrica}}|}{|\vec{F}_{21}^{\text{grav}}|} = \frac{k}{G} \frac{q_1 q_2}{m_1 m_2} = 1,35 \cdot 10^{20} \frac{\text{kg}^2}{\text{C}^2} \frac{q_1 q_2}{m_1 m_2}$$

$$G = 6,67 \cdot 10^{-11} \frac{\text{Nm}^2}{\text{kg}^2}$$
$$k = 9 \cdot 10^9 \frac{\text{Nm}^2}{\text{C}^2}$$

### Problema 2

Calcular la  $\vec{F}$  eléctrica sobre  $q'$ .



Usa el principio de superposición: la fuerza eléctrica neta aplicado sobre  $q'$  es la suma de las fuerzas que ejerce cada carga  $\vec{F}_{q'} = \vec{F}_a + \vec{F}_b + \vec{F}_c + \vec{F}_d$

Calculamos esas fuerzas:

Dependen de: la posición de  $q'$ :  $\vec{r}_{q'} = (0, 0)$

la posición de  $q_a$ :  $\vec{r}_a = (-\frac{L}{2}, \frac{L}{2})$

la posición de (b) :  $\vec{r}_b = \left(\frac{L}{2}, \frac{L}{2}\right)$

(c)

la posición de (c) :  $\vec{r}_c = \left(\frac{L}{2}, -\frac{L}{2}\right)$

la posición de (d) :  $\vec{r}_d = \left(-\frac{L}{2}, -\frac{L}{2}\right)$

Recordando:

$$\vec{F}_{21}^{el} = k \frac{q_1 q_2}{|\vec{r}_2 - \vec{r}_1|^3} (\vec{r}_2 - \vec{r}_1)$$

$$\vec{F}_a = k \cdot \frac{q_a \cdot q'}{\left(\left(\frac{L}{2}\right)^2 + \left(\frac{L}{2}\right)^2\right)^{3/2}} \left[-\left(-\frac{L}{2}\hat{x} + \frac{L}{2}\hat{y}\right)\right]$$

$$\Rightarrow \vec{F}_a = k \frac{L/2 \cdot q_a \cdot q'}{L^3/2^{3/2}} (\hat{x} - \hat{y})$$

$$\Rightarrow \vec{F}_a = k \frac{\sqrt{2}}{L^2} q_a \cdot q' (\hat{x} - \hat{y})$$

$$\vec{F}_b = k \frac{q_b \cdot q'}{\left(\left(\frac{L}{2}\right)^2 + \left(\frac{L}{2}\right)^2\right)^{3/2}} \left[-\left(\frac{L}{2}\hat{x} + \frac{L}{2}\hat{y}\right)\right] = -k \frac{\sqrt{2}}{L^2} q_b q' (\hat{x} + \hat{y})$$

$$\vec{F}_c = k \frac{q_c \cdot q'}{\left(\left(\frac{L}{2}\right)^2 + \left(\frac{L}{2}\right)^2\right)^{3/2}} \left[-\left(\frac{L}{2}\hat{x} - \frac{L}{2}\hat{y}\right)\right] = -k \frac{\sqrt{2}}{L^2} q_c q' (\hat{x} - \hat{y})$$

$$\vec{F}_d = k \frac{q_d \cdot q'}{\left(\left(\frac{L}{2}\right)^2 + \left(\frac{L}{2}\right)^2\right)^{3/2}} \left[-\left(-\frac{L}{2}\hat{x} - \frac{L}{2}\hat{y}\right)\right] = k \frac{\sqrt{2}}{L^2} q_d \cdot q' (\hat{x} + \hat{y})$$

Superpongo:

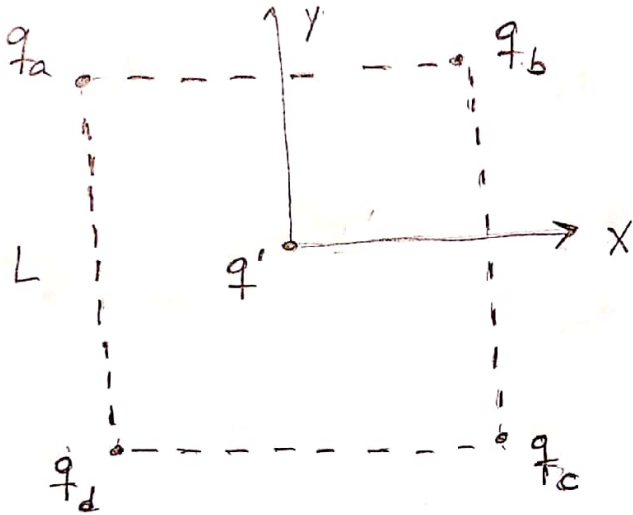
$$\Rightarrow \vec{F}_{q'} = \vec{F}_a + \vec{F}_b + \vec{F}_c + \vec{F}_d =$$

$$= k \frac{\sqrt{2}}{L^2} \cdot q' \left[ (q_a - q_b - q_c + q_d) \hat{x} \right.$$

$$\left. + (-q_a - q_b + q_c + q_d) \hat{y} \right]$$

$$\Rightarrow \vec{F}_{q'} = k \frac{\sqrt{2}}{L^2} q' \left[ (q_a - q_b - q_c + q_d) \hat{x} + (-q_a - q_b + q_c + q_d) \hat{y} \right]$$

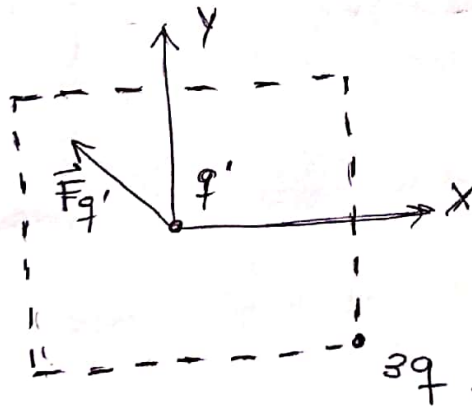
(D)



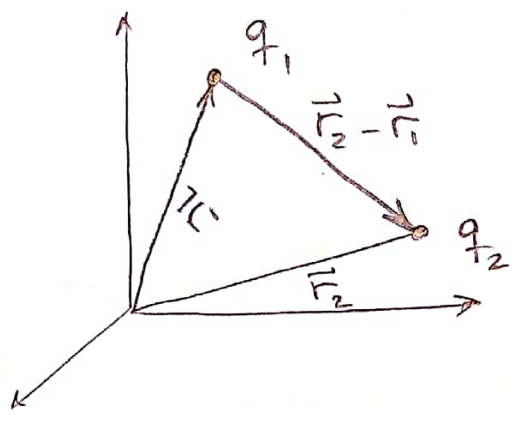
En el problema (2) :  $q_a = q$ ,  $q_b = 2q$ ,  $q_c = 4q$ ,  $q_d = 2q$ .

$$\Rightarrow \vec{F}_{q'} = k \frac{\sqrt{2}}{L^2} q' \left[ -3q \hat{x} + 3q \hat{y} \right] = k \frac{\sqrt{2}}{L^2} 3q \cdot q' (-\hat{x} + \hat{y})$$

Es equivalente a:  
(x superposición)



# Campo electrostático



$$\vec{F}_{21}^{el} = \frac{k q_1 q_2}{|\vec{r}_2 - \vec{r}_1|^3} (\vec{r}_2 - \vec{r}_1) \equiv q_2 \vec{E}_1(\vec{r}_2)$$

Con 
$$\vec{E}_1(\vec{r}) = \frac{k q_1}{|\vec{r} - \vec{r}_1|^3} (\vec{r} - \vec{r}_1)$$

Campo eléctrico en todo el espacio generado por la carga  $q_1$ .

## Nota 1

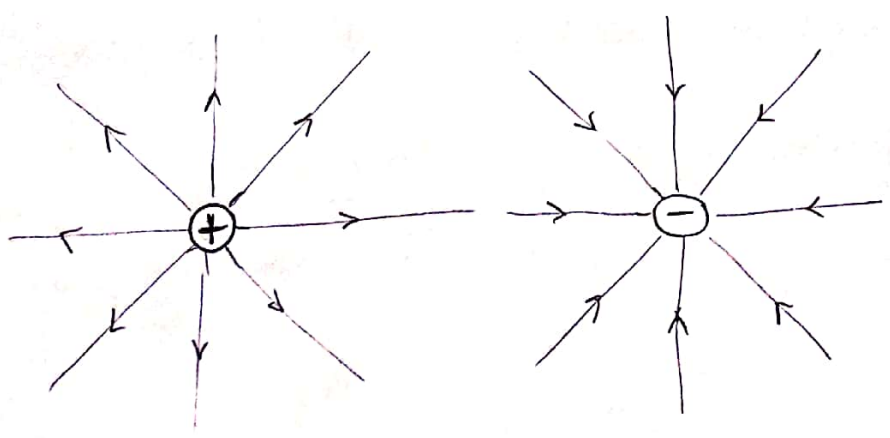
El ppio de superposición vale para campos:

$$\vec{E}(\vec{r}) = \sum_i \vec{E}_i(\vec{r}) \quad \text{cuando tengo muchas cargas } q_i$$

## Nota 2

Las líneas de campo son curvas orientadas cuyas vectores tangentes están determinados por el campo:

$$\vec{r}(\lambda) / \frac{d\vec{r}}{d\lambda} = \vec{E}$$



Te dicen hacia adonde se va a acelerar una partícula de carga positiva.

Nota 3

Dividir a las cargas en dos grupos:

(F)

- ① Las que generan el campo.
- ② Las que "sienten" el campo (cargas de prueba)

La forma de pensarlo es la siguiente:

a) Tengo una distribución de cargas.  $q_i$

b) Calculo el campo  $\vec{E}$  que generan.

c) Introduzco carga de prueba y evalúo cómo la afecta el campo.

⊙ No calculo el campo generado por la carga de prueba.

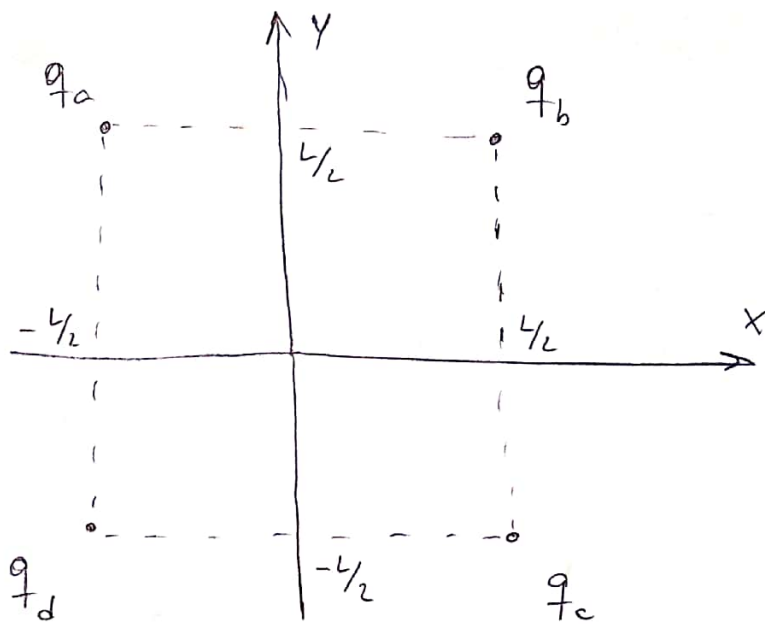
⊙ Supongo la aproximación de que la presencia de las cargas de prueba no afecta a la distribución de cargas que generan el campo.

Nota 4

¿Porqué no hicimos esto con la fuerza gravitatoria?

Porque la fza gravitatoria de Newton es solo una aproximación de la fuerza real. El campo gravitatorio se calcula usando las ecuaciones de Einstein.

### Problema 3



(G)

Pide calcular el campo eléctrico sobre el eje  $x$  e  $y$ :

$$\vec{E}(\vec{r}) = \sum_i \frac{k q_i}{|\vec{r} - \vec{r}_i|^3} (\vec{r} - \vec{r}_i)$$

Sobre el eje  $x$ :  $\vec{r} = x \hat{x} \leftarrow (+y \hat{y} \text{ pero } y=0)$

La posición de las cargas es

$$\begin{cases} \vec{r}_a = -\frac{L}{2} \hat{x} + \frac{L}{2} \hat{y} \\ \vec{r}_b = \frac{L}{2} \hat{x} + \frac{L}{2} \hat{y} \\ \vec{r}_c = \frac{L}{2} \hat{x} - \frac{L}{2} \hat{y} \\ \vec{r}_d = -\frac{L}{2} \hat{x} - \frac{L}{2} \hat{y} \end{cases}$$

$$\Rightarrow \vec{E}(x) = \frac{k q_a}{\left[ \left(x + \frac{L}{2}\right)^2 + \left(\frac{L}{2}\right)^2 \right]^{3/2}} \left[ \left(x + \frac{L}{2}\right) \hat{x} - \frac{L}{2} \hat{y} \right]$$

$$+ \frac{k q_b}{\left[ \left(x - \frac{L}{2}\right)^2 + \left(\frac{L}{2}\right)^2 \right]^{3/2}} \left[ \left(x - \frac{L}{2}\right) \hat{x} - \frac{L}{2} \hat{y} \right]$$

$$+ \frac{k q_c}{\left[ \left( x - \frac{L}{2} \right)^2 + \left( \frac{L}{2} \right)^2 \right]^{3/2}} \left[ \left( x - \frac{L}{2} \right) \hat{x} + \frac{L}{2} \hat{y} \right]$$

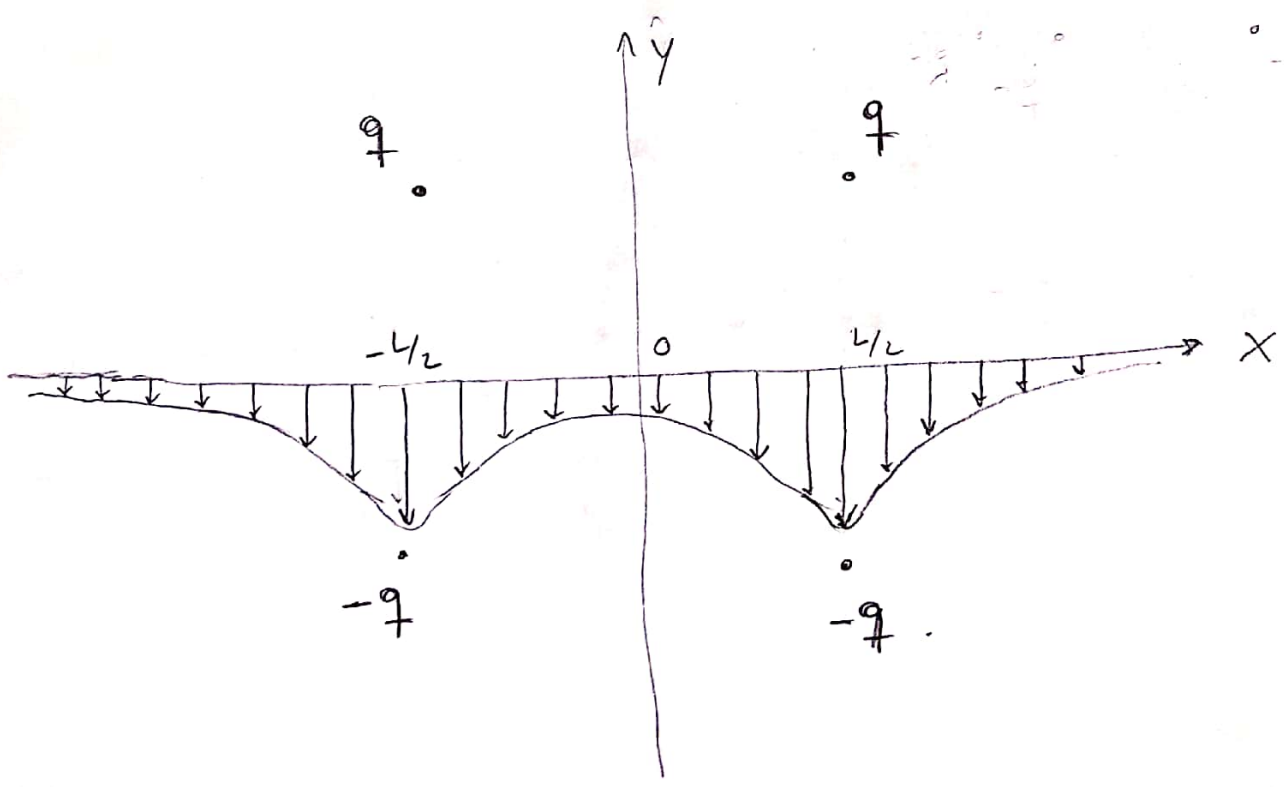
(4)

$$+ \frac{k q_d}{\left[ \left( x + \frac{L}{2} \right)^2 + \left( \frac{L}{2} \right)^2 \right]^{3/2}} \left[ \left( x + \frac{L}{2} \right) \hat{x} + \frac{L}{2} \hat{y} \right]$$

Casos

①  $q_a = q_b = q$ ,  $q_c = q_d = -q$

$$\Rightarrow \vec{E} = - \frac{2 k q L}{\left[ \left( x + \frac{L}{2} \right)^2 + \left( \frac{L}{2} \right)^2 \right]^{3/2}} \hat{y} - \frac{k q L}{\left[ \left( x - \frac{L}{2} \right)^2 + \left( \frac{L}{2} \right)^2 \right]^{3/2}} \hat{y}$$



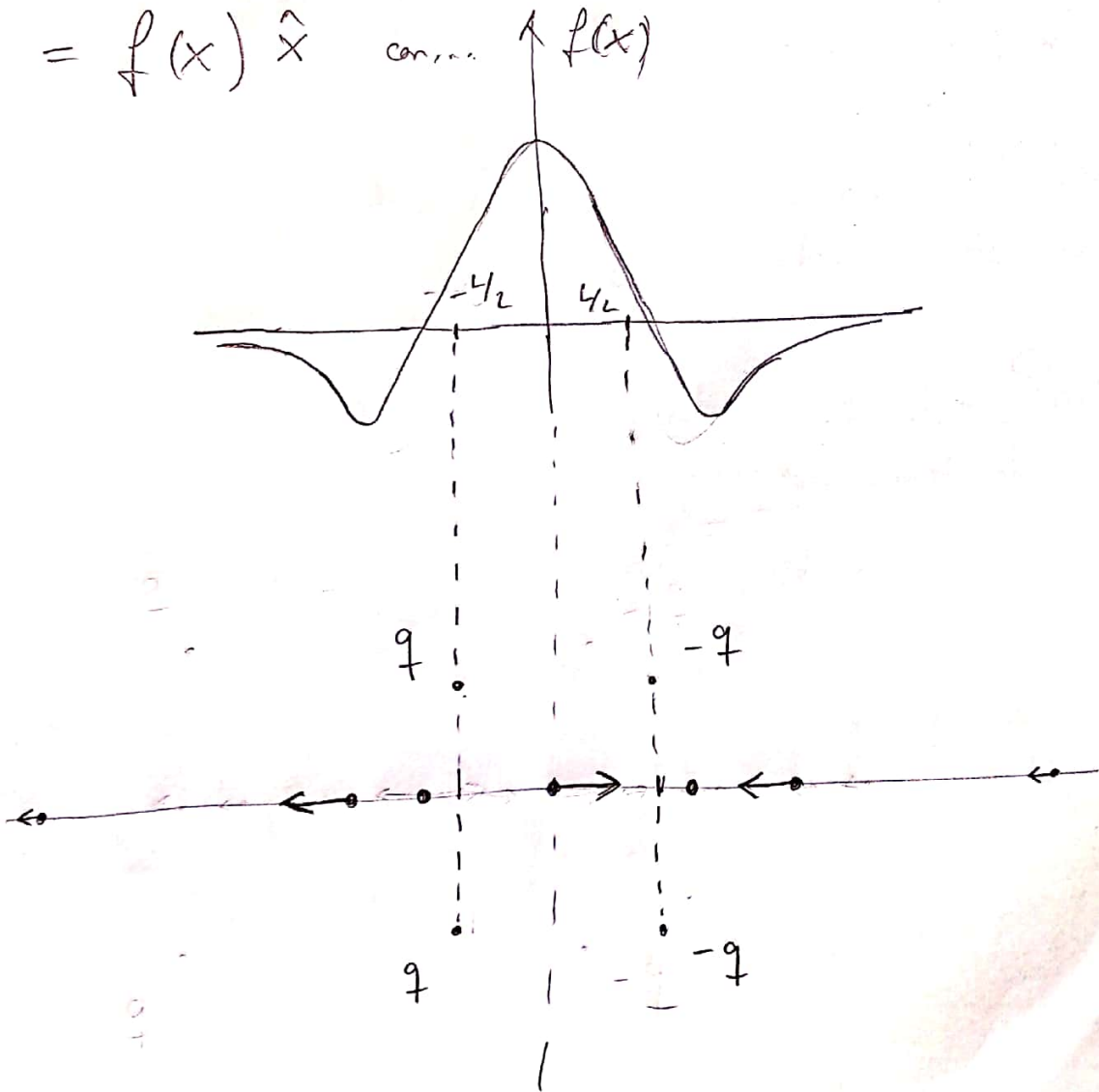


(I)

(2)  $q_a = q_d = q, q_b = q_c = -q$

$$\vec{E} = \frac{2kq}{\left[ \left(x + \frac{L}{2}\right)^2 + \left(\frac{L}{2}\right)^2 \right]^{3/2}} \hat{x} - \frac{2kq}{\left[ \left(x - \frac{L}{2}\right)^2 + \left(\frac{L}{2}\right)^2 \right]^{3/2}} \hat{x}$$

$= f(x) \hat{x}$  *con...*  $f(x)$



## Distribuciones continuas de carga:

(J)

Una configuración continua de cargas puede ser:

Lineal:  $dq(\vec{r}') = \lambda(\vec{r}') \underbrace{dl'}_{\text{diferencial de línea}}$   $[\lambda] = C/m$

Superficial:  $dq(\vec{r}') = \sigma(\vec{r}') \underbrace{dA'}_{\text{diferencial de superficie}}$   $[\sigma] = C/m^2$

Volumétrico:  $dq(\vec{r}') = \rho(\vec{r}') \underbrace{dV'}_{\text{diferencial de volumen}}$   $[\rho] = C/m^3$

Cargas puntuales:

$$\vec{E}(\vec{r}) = \sum_i k \frac{q_i}{|\vec{r} - \vec{r}_i|^2} (\vec{r} - \vec{r}_i)$$

Distribución de carga:

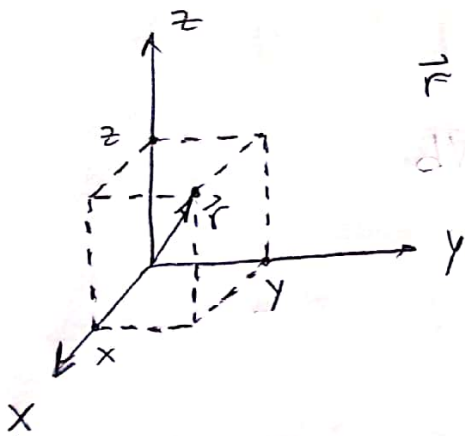
$$\vec{E}(\vec{r}) = \int \frac{k dq(\vec{r}') (\vec{r} - \vec{r}')}{|\vec{r} - \vec{r}'|^3}$$

Las coordenadas primarias  $\vec{r}'$  recorren la distribución de carga y las no-primarias  $\vec{r}$  se refieren al punto en el que quiera evaluar el campo.

Típicamente las distribuciones serán lineales, planas, u  
cilíndricas, circulares, esféricas, etc...

⇒ Las coordenadas primarias conviene representarlas  
en sistemas de coordenadas afines a la geometría de  
la configuración.

Cartesianas:

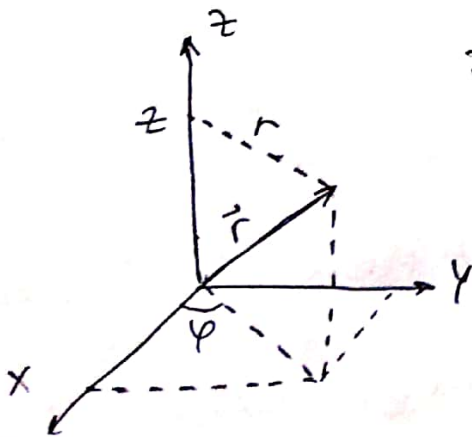


$$\vec{r} = x \hat{x} + y \hat{y} + z \hat{z}$$

$$d\vec{r} = dx \hat{x} + dy \hat{y} + dz \hat{z}$$

$$\begin{cases} dl_x = dx \\ dl_y = dy \\ dl_z = dz \end{cases}$$

Cilíndricas:

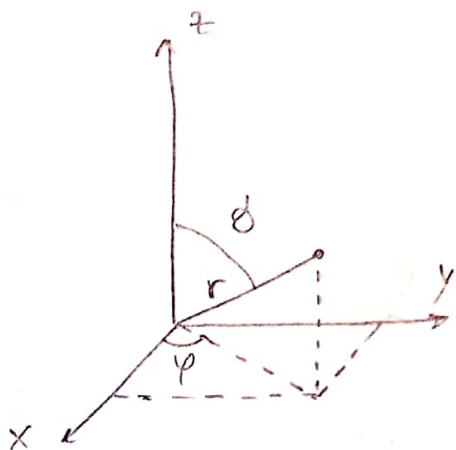


$$\vec{r} = r \cos \phi \hat{x} + r \sin \phi \hat{y} + z \hat{z}$$

$$\begin{cases} dl_r = dr \\ dl_\phi = r d\phi \\ dl_z = dz \end{cases}$$

# Esféricas

(L)



$$\vec{r} = r \cos \theta \cos \varphi \hat{x} + r \cos \theta \sin \varphi \hat{y} + r \sin \theta \hat{z}$$

$$\begin{cases} dl_r = dr \\ dl_\theta = r d\theta \\ dl_\varphi = r \sin \theta d\varphi \end{cases}$$

Con esto puedo parametrizar configuraciones lineales.

Ej ① Un hilo en la dirección  $z$ :

Características:  $x = y = 0$ ,  $dx = dy = 0$

$$\vec{r} = z \hat{z}, \quad dl = dl_z = dz.$$

Cilíndricas:  $r = 0$ ,  $dr = 0$

$$\vec{r} = z \hat{z}, \quad dl = dl_z = dz$$

Ej ②: Un círculo de radio  $R$  sobre el plano  $x-y$ :

Cilíndricas:  $z = 0$ ,  $r = R$ ,  $dz = dr = 0$

$$\vec{r} = R \cos \varphi \hat{x} + R \sin \varphi \hat{y}$$

$$dl = dl_\varphi = R d\varphi.$$

Esféricas:  $\theta = \frac{\pi}{2}$ ,  $r = R$ ,  $d\theta = dr = 0$ . (11)

$$\vec{r} = R \cos\varphi \hat{x} + R \sin\varphi \hat{y}$$

$$dl = dl_\varphi = R d\varphi.$$

Ej ③: Superfície cilíndrica de radio  $R$ .

Cilíndricas:  $r = R$ ,  $dr = 0$

$$\vec{r} = R \cos\varphi \hat{x} + R \sin\varphi \hat{y} + z \hat{z}$$

$$dA = dl_\varphi \cdot dl_z = R d\varphi dz.$$

Ej ④: Superfície esférica de radio  $R$ .

Esféricas:  $r = R$ ,  $dr = 0$ .

$$\vec{r} = R \sin\theta \cos\varphi \hat{x} + R \sin\theta \sin\varphi \hat{y} + R \cos\theta \hat{z}$$

$$dA = dl_\theta \cdot dl_\varphi = R \sin\theta d\theta d\varphi.$$

Ej ⑤: Cilindro volumétrico de radio  $R$ :

Cilíndricas:  $\vec{r} = r \cos\varphi \hat{x} + r \sin\varphi \hat{y} + z \hat{z}$

$$0 \leq r \leq R$$

$$dV = dl_r dl_\varphi dl_z = r dr d\varphi dz$$

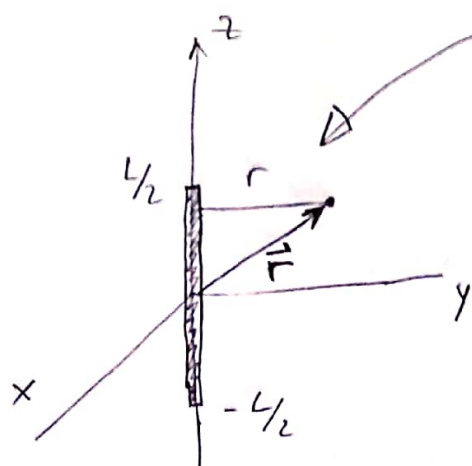
Ej 6 : Esfera volumétrica de radio  $R$

(N)

Esfericas :  $\vec{r} = r \cos \theta \cos \varphi \hat{x} + r \sin \theta \cos \varphi \hat{y} + r \sin \theta \hat{z}$   
con  $0 \leq r \leq R$

$$dV = dr d\theta d\varphi = r^2 \sin \theta dr d\theta d\varphi$$

### Problema 6



Hilo de long  $L$  de carga  $Q$

Pide campo en todo el espacio.

Conviene tomar coordenadas cilíndricas ! (simetría de rot  $\hat{z}$ )

$$\vec{E}(\vec{r}) = \int \frac{k dq(\vec{r}')}{|\vec{r} - \vec{r}'|^3} (\vec{r} - \vec{r}')$$

Qué es cada cosa ...

$$dq(\vec{r}') = \lambda(\vec{r}') dl' = \frac{Q}{L} dz' = \frac{Q}{L} dz'$$

$$\vec{r}' = z' \hat{z} \quad \text{con} \quad -\frac{L}{2} \leq z' \leq \frac{L}{2}$$

$$\vec{r} = r \cos \varphi \hat{x} + r \sin \varphi \hat{y} + z \hat{z}$$

①

pero, puedo fijar  $\varphi = 0 \rightarrow$  No pierdo generalidad  $\nabla$

y en este caso  $\hat{x} = \hat{r}$

$$\Rightarrow \vec{r} = r \hat{r} + z \hat{z}$$

$$\Rightarrow E(\vec{r}) = \int_{-L/2}^{L/2} \frac{kQ/L dz'}{[r^2 + (z-z')^2]^{3/2}} (r \hat{r} + (z-z') \hat{z})$$

$$= \left( \frac{kQ}{L} r \int_{-L/2}^{L/2} \frac{dz'}{[r^2 + (z-z')^2]^{3/2}} \right) \hat{r}$$

$$+ \left( \frac{kQ}{L} r \int_{-L/2}^{L/2} \frac{(z-z') dz'}{[r^2 + (z-z')^2]^{3/2}} \right) \hat{z}$$

$$= \frac{kQ}{L} \left[ \frac{(\frac{L}{2} - z)}{r \sqrt{r^2 + (\frac{L}{2} - z)^2}} + \frac{(\frac{L}{2} + z)}{r \sqrt{r^2 + (\frac{L}{2} + z)^2}} \right] \hat{r}$$

$$+ \frac{kQ}{L} \left[ \frac{1}{\sqrt{r^2 + (\frac{L}{2} - z)^2}} - \frac{1}{\sqrt{r^2 + (\frac{L}{2} + z)^2}} \right] \hat{z}$$

Ejercicio: Tomar el límite  $L \rightarrow 0$  y recuperar la expresión de campo para una carga puntual.

Límite  $L \rightarrow \infty$

Uso  $Q = \lambda \cdot L$

(P)

$$\Rightarrow \vec{E}(r) = \frac{2k\lambda}{r} \hat{r}$$

Recordar este resultado!

Ejercicio: Plantear la integral del campo eléctrico en todo el espacio para las configuraciones de carga del problema 8,